

การนำชีวิตรักษา-ละลูมินาที่ใช้แล้วมาใช้ประโยชน์เป็นตัวแทนไฟในการทำเชรุ่มิก



นายสาโรจน์ ปัชชาติพงษ์

ศูนย์วิทยทรัพยากร จุฬalongกรณ์มหาวิทยาลัย

วิทยานิพนธ์นี้เป็นส่วนหนึ่งของการศึกษาตามหลักสูตรปริญญาวิศวกรรมศาสตรมหาบัณฑิต
สาขาวิชาวิศวกรรมสิ่งแวดล้อม ภาควิชาวิศวกรรมสิ่งแวดล้อม
คณะวิศวกรรมศาสตร์ จุฬalongกรณ์มหาวิทยาลัย

ปีการศึกษา 2545

ISBN 974-17-0933-1

ลิขสิทธิ์ของจุฬalongกรณ์มหาวิทยาลัย

REUSE OF SPENT SILICA-ALUMINA AS FILLER FOR CERAMIC PRODUCTION

Mr. Saroj Patchotipong

ศูนย์วิทยทรัพยากร
จุฬาลงกรณ์มหาวิทยาลัย

A Thesis Submitted in Partial Fulfillment of the Requirements
for the Degree of Master of Engineering in Environmental Engineering

Department of Environmental Engineering

Faculty of Engineering

Chulalongkorn University

Academic Year 2002

ISBN 974-17-0933-1

หัวขอวิทยานิพนธ์

การนำชีวิตร่วมกับมนุษย์ใช้แล้วมาใช้ประโยชน์เป็นตัวแทนไฟในการทำ

เชรามิก

โดย

นายสาใจร์ ปัชชาติพงษ์

สาขาวิชา

วิศวกรรมสิ่งแวดล้อม

อาจารย์ที่ปรึกษา

รองศาสตราจารย์ ดร. เพ็ชรพร เชาวกิจเจริญ



คณะกรรมการศาสตร์ จุฬาลงกรณ์มหาวิทยาลัย อนุมัติให้วิทยานิพนธ์ฉบับนี้เป็น^๑
ส่วนหนึ่งของการศึกษาตามหลักสูตรปฏิญญาณหน้าบัณฑิต

Muth

.....คณบดีคณะวิศวกรรมศาสตร์

(ศาสตราจารย์ ดร. สมศักดิ์ ปัญญาแก้ว)

คณะกรรมการสอบวิทยานิพนธ์

สุวิทย์ ธรรมรงค์

.....ประธานกรรมการ

(รองศาสตราจารย์ ดร. ธีระ เกรอต)

พิชัย พงษ์พันธุ์

.....อาจารย์ที่ปรึกษา

(รองศาสตราจารย์ ดร. เพ็ชรพร เชาวกิจเจริญ)

ณัฐ พูลวรลักษณ์

.....กรรมการ

(ผู้ช่วยศาสตราจารย์ ดร. สุชา ขาวเชียร)

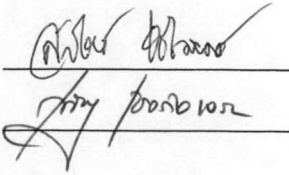
นันท์ พูลวรลักษณ์

.....กรรมการ

(อาจารย์ ดร. มั่นสกร ราชากรภิจ)

สารนิพนธ์ : การนำซิลิกา-อะลูมินาที่ใช้แล้วมาใช้ประโยชน์เป็นตัวทนไฟในการทำเซรามิก。
 (REUSE OF SPENT SILICA-ALUMINA AS FILLER FOR CERAMIC) อาจารย์ที่ปรึกษา :
 รองศาสตราจารย์ ดร. เพ็ชรพร เชาวกิจเจริญ, 149 หน้า. ISBN 974-17-0933-1.

งานวิจัยนี้มีวัตถุประสงค์เพื่อศึกษาการนำซิลิกา-อะลูมินาที่ใช้แล้วมาใช้ประโยชน์ในการเป็นวัตถุดิบผลิตเซรามิกโดยใช้แทนอะลูมินาบริสุทธิ์ซึ่งทำหน้าที่เป็นตัวทนไฟร่วมกับดินดำและหินฟันม้า ซิลิกา-อะลูมินาที่ใช้แล้วได้มาจากโรงงานผลิตไอกอโรเจนเปอร์ออกไซด์ การทดลองได้ทำการศึกษาถึงคุณสมบัติต่างๆของเนื้อดินและเซรามิกที่ผลิตได้จากอัตราส่วนซิลิกา-อะลูมินาที่ใช้แล้ว โดยในการทดลองที่ 1 ศึกษาอัตราส่วนที่เหมาะสมของซิลิกา-อะลูมินาที่ใช้แล้วโดยใช้ขนาด 150 เมซ ผสมในเนื้อดินซึ่งเป็นส่วนผสมของดินดำและหินฟันม้าโดยคงค่าอัตราส่วนระหว่างดินดำและหินฟันม้าที่อัตราส่วน 8 ต่อ 5 เมทั่อุณหภูมิ 1180 องศาเซลเซียส(1453 เคลวิน) โดยแปรค่าอัตราส่วนของซิลิกา-อะลูมินาต่อส่วนผสมเป็น 30 35 40 และ 45 เปอร์เซ็นต์ การทดลองที่ 2 ศึกษาขนาดของ ซิลิกา-อะลูมินาที่ใช้แล้วที่เหมาะสม โดยแปรค่าขนาดของซิลิกา-อะลูมินาที่ใช้แล้วเป็นขนาด 100 เมซ 150 เมซ และ 200 เมซ การทดลองที่ 3 ศึกษาอุณหภูมิที่เหมาะสมในการเผา โดยแปรค่าอุณหภูมิที่ใช้ในการเผาเป็น 900 1000 1100 และ 1180 องศาเซลเซียส(1173 1273 1373 และ 1453 เคลวิน) การทดลองที่ 4 ศึกษาอัตราการเพิ่มอุณหภูมิในการเผาที่เหมาะสม โดยแปรค่าอัตราการเพิ่มอุณหภูมิในการเผาเป็น 2 3 4 และ 5 องศาเซลเซียสต่อนาที ผลการวิจัยสามารถสรุปได้ว่า เซรามิกที่ผลิตได้จากซิลิกา-อะลูมินาที่ใช้แล้วมีคุณสมบัติดีที่สุดที่อัตราส่วนของซิลิกา-อะลูมินาที่ใช้แล้ว 40 เปอร์เซ็นต์ โดยใช้ขนาด 100 เมซ ณ อุณหภูมิที่ใช้ในการเผา 1100 องศาเซลเซียส(1373 เคลวิน) และอัตราการเพิ่มอุณหภูมิในการเผาเป็น 3 องศาเซลเซียสต่อนาที โดยมีค่าเบอร์เซ็นต์การหดตัวหลังเผาเท่ากับ 11.42 เปอร์เซ็นต์ ค่าความหนาแน่นหลังเผาเท่ากับ 2 กรัมต่อลูกบาศก์เซนติเมตร ค่าการดูดซึมของน้ำเท่ากับ 11 เปอร์เซ็นต์ และค่ากำลังรับแรงดัดหลังเผาเท่ากับ 247.34 กิโลกรัมต่ำตารางเซนติเมตร(24.25 เมกะปานascal) ผลการศึกษาประสิทธิภาพในการลดการหดตัว พบว่า ค่าที่ได้ผ่านเกณฑ์มาตรฐาน ผลการตรวจสอบเฟสที่เกิดขึ้นโดยเครื่องเอกซเรย์ดิฟแฟร์กโนมิเตอร์ พบว่า แห่งทัดสอบเซรามิกมีความแข็งสูงเนื่องจากพบเฟสของคอร์ดัม (Al_2O_3) แต่ไม่พบเฟสของมัลลิลิต ($3Al_2O_3 \cdot 2SiO_2$) ซึ่งเป็นเฟสที่ให้ความแข็งแรงสูง นอกจากนี้ ผลการประมาณการค่าใช้จ่ายเบื้องต้น พบว่า ในการผลิตเซรามิกจากซิลิกา-อะลูมินาที่ใช้แล้ว มีค่าใช้จ่าย 94 บาทต่อกิโลกรัมของเซรามิกที่ผลิตได้

ภาควิชา	วิศวกรรมสิ่งแวดล้อม	ลายมือชื่อนิติ
สาขาวิชา	วิศวกรรมสิ่งแวดล้อม	ลายมือชื่ออาจารย์ที่ปรึกษา
ปีการศึกษา	2545	

##4270590721 : MAJOR ENVIRONMENTAL ENGINEERING

KEYWORD : SPENT SILICA-ALUMINA / CERAMIC / FILLER

SAROJ PATCHOTIPONG : REUSE OF SPENT SILICA-ALUMINA AS FILLER FOR

CERAMIC PRODUCTION. THESIS ADVISOR : ASSOC.PROF. PETCHPORN

CHAWAKITCHAREON,Ph.D., 149 pp. ISBN 974-17-0933-1.

This research investigated the utilization of spent silica-alumina as a filler for ceramics in place of pure alumina combined with ball clay (Mae san) and feldspar. Spent silica-alumina was obtained from the hydrogen peroxide industry. The experiments were performed in order to find the optimum conditions for the alumina earthenware manufacturing process by considering the physical properties of the test specimens, such as water adsorption, fired strength, green strength, shrinkage and density. The first experiment studied the effect of chemical composition by varying the spent silica-alumina/mixture ratio at 30 35 40 and 45% (The mixture of ball clay and feldspar was fixed at a ball clay/feldspar ratios of 8:5 and a firing temperature of 1,180 °C(1453 K)). The second experiment studied the effects of the particle size of spent silica-alumina by varying the particle size of spent silica-alumina at 100, 150 and 200 mesh. The third experiment studied the effects of varying the firing temperatures at 900, 1000, 1100 and 1180 °C(1173 1273 1373 and 1453 K). The fourth experiment studied the effects of varying the heating rate by increasing the rate by rates at 2, 3, 4 and 5 °C/minute. The results indicated that the optimum conditions of the spent silica-alumina/mixture ratio, the particle size, the firing temperature and the heating rate for producing alumina earthenware ceramic were 40%, 100 mesh, 1100 °C(1373 K) and 3 °C/minute, respectively. By using these conditions, the firing shrinkage was 11.42 %, fired density was 2 g/cm³, water adsorption was 11% and fired strength was 247.34 kg/cm²(24.25 MPa). The results indicated that leaching tests were all within the ceramic product standard limits. The result of X-Ray diffraction indicated that the test specimen has high hardness due to the high hardness phase of Corundum (Al_2O_3) was detected. However, the results did not detect Mullite ($3\text{Al}_2\text{O}_3 \cdot 2\text{SiO}_2$), high strength phase. The cost estimation of the reuse of spent silica-alumina as filler for ceramic revealed a cost of 94 baht/kilogram of produced ceramic material.

Department Environmental Engineering

Student's signature

Field of study Environmental Engineering

Advisor's signature

Academic year 2002

กิตติกรรมประกาศ

ผู้วิจัยขอขอบพระคุณอาจารย์ที่ปรึกษาวิทยานิพนธ์ รศ. ดร. เพ็ชรพร เซัวกิจเจริญ เป็นอย่างสูง ที่เมตตาและให้โอกาสแก่ผู้วิจัยในการดำเนินงานวิจัยครั้งนี้ อีกทั้งยังกรุณาและแนะนำให้คำปรึกษาในงานวิจัยจนสำเร็จลุล่วงไปด้วยดี

ขอขอบพระคุณคณะกรรมการสอบวิทยานิพนธ์และคณาจารย์ทุกท่านที่ประสิทธิ์ประสาทถ่ายทอดวิชาความรู้ทางวิชาการ

ขอขอบพระคุณบิดามารดา และน้องๆทุกคนในครอบครัวที่ให้การสนับสนุนและเป็นกำลังใจแก่ผู้วิจัยมาโดยตลอด

ขอขอบพระคุณภาควิชาวิศวกรรมสิ่งแวดล้อม จุฬาลงกรณ์มหาวิทยาลัย ภาควิชาวัสดุศาสตร์ คณะวิทยาศาสตร์ จุฬาลงกรณ์มหาวิทยาลัย สถาบันวิจัยโลหะและวัสดุศาสตร์ จุฬาลงกรณ์มหาวิทยาลัย ศูนย์เครื่องมือวิจัยวิทยาศาสตร์และเทคโนโลยี จุฬาลงกรณ์มหาวิทยาลัย คุณสมคิด หัวหน้าห้องปฏิบัติการเชรามิกส์ ภาควิชาวัสดุศาสตร์ คณะวิทยาศาสตร์ จุฬาลงกรณ์มหาวิทยาลัย ห้องปฏิบัติการของเสียงอันตราย ภาควิชาวิศวกรรมสิ่งแวดล้อม จุฬาลงกรณ์มหาวิทยาลัย ที่ให้การช่วยเหลือความคุ้มครองในการทำวิจัย คุณอนุรักษ์ หัวหน้าฝ่ายการผลิตบริษัทเพอรอคช์ไทยจำกัด ที่ให้ความอนุเคราะห์วัสดุชิลิกา-อลูมินาที่ใช้แล้ว คุณวชรานุช บริษัท เคลอร์แอนด์มินเนอรัล จำกัด ที่ให้ความอนุเคราะห์ดินดำแม่แรนและเฟลเดิลส์ปาร์คส์ จำกัด ที่ให้ในภาระวิจัย

ขอขอบคุณบัณฑิตวิทยาลัย จุฬาลงกรณ์มหาวิทยาลัย ทบวงมหาวิทยาลัย และมูลนิธิชินไสภณพนิชที่มอบทุนสนับสนุนบางส่วนของงานวิจัยในครั้งนี้และขอขอบคุณภาควิชาวิศวกรรมสิ่งแวดล้อม จุฬาลงกรณ์มหาวิทยาลัย ที่มอบทุนสนับสนุนผลงานวิจัยบัณฑิตศึกษา เพื่อนำเสนอในการประชุมวิชาการสิ่งแวดล้อมแห่งชาติ

ท้ายนี้ขอขอบคุณเพื่อนๆ พี่ๆ และน้องๆ ทุกท่านในภาควิชาวิศวกรรมสิ่งแวดล้อม จุฬาลงกรณ์มหาวิทยาลัย ที่ให้ความรัก คำปรึกษา และความช่วยเหลือขั้นที่ศึกษาและทำงานวิจัยเป็นอย่างดี

สารบัญ

	หน้า
บทคัดย่อภาษาไทย	๑
บทคัดย่อภาษาอังกฤษ	๒
กิตติกรรมประกาศ	๓
สารบัญ	๔
สารบัญตาราง	๕
สารบัญรูป	๖
คำนิยาม	๗
บทที่ 1 บทนำ	๑
บทที่ 2 วัตถุประสงค์และขอบเขตการวิจัย	๒
บทที่ 3 ทบทวนเอกสาร	๓
3.1 ชิลิกา-อะลูมีนาที่ใช้แล้ว	๓
3.1.1 สารเอนทրัคทินใน	๕
3.1.2 ความเป็นพิษของสารเอนทրัคทินใน	๖
3.2 เซรามิก	๖
3.2.1 วัตถุดิบในการผลิตเซรามิก	๖
3.2.1.1 ดิน	๗
3.2.1.1.1 ดินขาว	๗
3.2.1.1.2 ดินเหนียว	๙
3.2.1.1.2 ดินดำ	๑๐
3.2.1.2 ตัวหลอมละลายในเนื้อดิน	๑๒
3.2.1.3 ตัวทนไฟ	๑๔
3.2.1.3.1 ชิลิกา	๑๔
3.2.1.3.2 อะลูมีนา	๑๕
3.2.2 เนื้อดินอะลูมีนาเอิร์ทเทินแวร์	๑๖
3.2.3 กระบวนการผลิต	๑๗

สารบัญ(ต่อ)

หน้า

3.2.4 การขึ้นรูปโดยวิธีอัดเนื้อดินผ่านกระบวนการออกสูบและหัวแบบ	
ชิ้งอยู่ดอนปลายของกระบวนการออกสูบกระบวนการผลิต	18
3.2.5 ตัวแปรเบื้องต้นที่มีผลต่อคุณภาพของผลิตภัณฑ์เซรามิก	18
3.2.6 ค่าไม่ดูลัสรการแตกหักหรือค่ากำลังรับแรงดัด	18
3.3 การศึกษาที่เกี่ยวข้องกับงานวิจัย	20
บทที่ 4 แผนการทดลอง และการดำเนินการวิจัย	24
4.1 การเตรียมวัสดุสำหรับการวิจัย	24
4.2 การดำเนินการวิจัย	26
- การทดลองที่ 1 ศึกษาหาอัตราส่วนที่เหมาะสมของซิลิกา-อะลูมินาที่ใช้แล้วในการใช้แทนที่อะลูมินาซึ่งเป็นตัวหนไฟในเนื้อผลิตภัณฑ์เซรามิกประเภทอะลูมินาเอิร์ทเทินแวร์	26
- การทดลองที่ 2 ศึกษาหาขนาดที่เหมาะสมของซิลิกา-อะลูมินาที่ใช้แล้วในการใช้แทนที่อะลูมินาซึ่งเป็นตัวหนไฟในเนื้อผลิตภัณฑ์เซรามิกประเภทอะลูมินา – เอิร์ทเทินแวร์	27
- การทดลองที่ 3 ศึกษาอุณหภูมิที่เหมาะสมในการใช้ซิลิกา-อะลูมินาที่ใช้แล้วแทนที่อะลูมินาซึ่งเป็นตัวหนไฟในเนื้อผลิตภัณฑ์เซรามิกประเภทอะลูมินา - เอิร์ทเทินแวร์	27
- การทดลองที่ 4 ศึกษาอัตราการเพิ่มอุณหภูมิที่ใช้ในการเผาที่เหมาะสมใน การใช้ซิลิกา-อะลูมินาที่ใช้แล้วแทนที่อะลูมินาซึ่งเป็นตัวหนไฟในเนื้อ ผลิตภัณฑ์เซรามิกประเภทอะลูมินาเอิร์ทเทินแวร์	27
- การทดลองที่ 5 ตรวจสอบหาปริมาณสารตะกั่วและแคนเดเมียมตามมาตรฐาน ผลิตภัณฑ์อุดสานกรรมเกี่ยวกับเซรามิกที่ใช้กับอาหาร	28
- การทดลองที่ 6 ตรวจสอบแร่มัลไลท์ที่เกิดขึ้น ($3 \text{ Al}_2\text{O}_3 \cdot 2 \text{ SiO}_2$)	28
- การทดลองที่ 7 ประมาณค่าใช้จ่ายเบื้องต้นในการบำบัด	28

สารบัญ(ต่อ)

	หน้า
บทที่ 5 ผลการทดลองและวิเคราะณ์ผล	29
5.1 การศึกษาผลของอัตราส่วนของชีลิกา-อะลูมินาที่ใช้แล้ว	29
5.1.1 สมบัติทางกายภาพของวัสดุดิบ	30
5.1.2 สมบัติทางเคมีของวัสดุดิบ	30
5.1.3 ศึกษาผลของอัตราส่วนของชีลิกา-อะลูมินาที่ใช้แล้วต่อคุณสมบัติของเซรามิกที่ผลิตได้	30
5.1.3.1 ค่าความเนื้ียว	30
5.1.3.2 ค่าการหดตัวหลังอบแห้ง	31
5.1.3.3 ค่าความหนาแน่นหลังอบแห้ง	31
5.1.3.4 ค่าความแข็งแรงหลังอบแห้ง	31
5.1.3.5 ค่าการหดตัวหลังเผา	34
5.1.3.6 ค่าความหนาแน่นหลังเผา	34
5.1.3.7 ค่าความแข็งแรงหลังเผา	34
5.1.3.8 ค่าการดูดซึมน้ำ	34
5.2 การศึกษาผลของขนาดอนุภาคของชีลิกา-อะลูมินาที่ใช้แล้ว	37
5.2.1 ค่าความเนื้ียว	37
5.2.2 ค่าการหดตัวหลังอบแห้ง	37
5.2.3 ค่าความหนาแน่นหลังอบแห้ง	37
5.2.4 ค่าความแข็งแรงหลังอบแห้ง	40
5.2.5 ค่าการหดตัวหลังเผา	40
5.2.6 ค่าความหนาแน่นหลังเผา	40
5.2.7 ค่าความแข็งแรงหลังเผา	43
5.2.8 ค่าการดูดซึมน้ำ	43
5.3 การศึกษาผลของอุณหภูมิที่ใช้ในการเผา	43
5.3.1 ค่าการหดตัวหลังเผา	44
5.3.2 ค่าความหนาแน่นหลังเผา	44
5.3.3 ค่าความแข็งแรงหลังเผา	47

สารบัญ(ต่อ)

	หน้า
5.3.4 ค่าการดูดซึมน้ำ.....	47
5.4 การศึกษาผลของอัตราเร็วที่ใช้ในการเผา.....	47
5.3.1 ค่าการหดตัวหลังเผา.....	48
5.3.2 ค่าความหนาแน่นหลังเผา.....	48
5.3.3 ค่าความแข็งแรงหลังเผา.....	48
5.3.4 ค่าการดูดซึมน้ำ.....	48
5.5 การศึกษาประสิทธิภาพในการลดการละลาย.....	51
5.6 การตรวจสอบแร่เมล็ดให้เกิดขึ้น.....	51
5.7 การประมาณค่าใช้จ่ายเบื้องต้น.....	55
5.8 ภาพรวมของเซรามิกที่ผลิตจากซีลิกา-อะลูมินาที่ใช้แล้ว.....	57
บทที่ 6 สรุปผลการทดลอง.....	59
บทที่ 7 ข้อเสนอแนะในการทำวิจัยเพิ่ม.....	61
รายการข้างอิง.....	62
บรรณานุกรม.....	65
ภาคผนวก.....	67
ภาคผนวก ก. ข้อมูลผลการทดลองเนื้อดิน แท่งทดสอบเซรามิกก่อนเผา และหลังเผา.....	68
ภาคผนวก ข. รูปวัตถุดิบ อุปกรณ์และเครื่องมือที่ใช้ในการวิจัย.....	133
ภาคผนวก ค. ข้อมูลการวิเคราะห์ Particle Size Analysis.....	143
ประวัติผู้เขียนวิทยานิพนธ์.....	149

จุฬาลงกรณ์มหาวิทยาลัย

สารบัญตาราง

	หน้า
ตารางที่ 3.1 แสดงส่วนประกอบของซิลิกา-อะลูมินาที่ใช้แล้ว	4
ตารางที่ 3.2 แสดงการกระจายขนาดของซิลิกา-อะลูมินาที่ใช้แล้ว	4
ตารางที่ 3.3 แสดงสมบัติต่างๆ ของดินขาว	8
ตารางที่ 3.4 แสดงสูตรเคมีของดินดำ	10
ตารางที่ 3.5 ข้อดีและข้อเสียของดินดำ	11
ตารางที่ 3.6 แสดงสมบัติทางกายภาพของเฟล์สปาร์	12
ตารางที่ 3.7 แสดงชนิดของเฟล์สปาร์จำแนกตามสารประกอบ	13
ตารางที่ 3.8 แสดงสมบัติทางกายภาพของซิลิกา	14
ตารางที่ 3.9 แสดงสมบัติทางกายภาพของอะลูมินา	15
ตารางที่ 3.10 แสดงคุณสมบัติของเนื้อดินอะลูมินาเอิร์ทเทินแวร์	17
ตารางที่ 4.1 แสดงเครื่องมือและอุปกรณ์ที่ใช้ในการทดลอง	24
ตารางที่ 4.2 แสดงสัดส่วนโดยน้ำหนัก (%) ของวัตถุดิบที่ใช้ผสม	26
ตารางที่ 5.1 ผลวิเคราะห์ทางเคมีของวัตถุดิบ โดยใช้เครื่องเอกซเรย์ฟลูออเรสเซนซ์-สเปกต์โรมิเตอร์	30
ตารางที่ 5.2 แสดงผลการทดสอบน้ำตาลละลาย	51
ตารางที่ 5.3 X-ray diffraction pattern ของแท่งทดสอบหลังเผาที่อุณหภูมิ 1100 องศาเซลเซียส อัตราการเพิ่มอุณหภูมิ 3 องศาเซลเซียสต่อนาที	52
ตารางที่ 5.4 แสดงผลการวิเคราะห์หาปริมาณธาตุของแท่งทดสอบก่อนและหลังเผาโดย เครื่องเอกซเรย์ฟลูออเรสเซนซ์สเปกต์โรมิเตอร์ (XRF)	56
ตารางที่ 5.5 แสดงรายละเอียดค่าใช้จ่ายเบื้องต้นในการผลิตเซรามิกโดยใช้ซิลิกา-อะลูมินาที่ใช้แล้ว เป็นตัวแทนอะลูมินาบริสุทธิ์ต่อ 1 กิโลกรัม	56
ตารางที่ 5.6 แสดงการเปรียบเทียบคุณสมบัติต่างๆ ของเซรามิกที่ผลิตจากซิลิกา-อะลูมินาที่ใช้แล้ว กับอะลูมินาบริสุทธิ์	58
ตารางที่ ผ1 แสดงค่าความหนึ่งของส่วนผสมที่ใช้ในการทดลอง	69
ตารางที่ ผ2 แสดงค่าเบอร์เซ็นต์การทดสอบตัวหลังอบแห้งของแท่งทดสอบที่มีอัตราส่วน ซิลิกา-อะลูมินา 30%	70
ตารางที่ ผ3 แสดงค่าเบอร์เซ็นต์การทดสอบตัวหลังอบแห้งของแท่งทดสอบที่มีอัตราส่วน ซิลิกา-อะลูมินา 35%	71

สารบัญตาราง (ต่อ)

หน้า

ตารางที่ ผ4 แสดงค่าเบอร์เซ็นต์การحدตัวหลังขอบแห่งของแท่งทดสอบที่มีอัตราส่วน ซิลิกา-อะลูมินา 40%	72
ตารางที่ ผ5 แสดงค่าเบอร์เซ็นต์การحدตัวหลังขอบแห่งของแท่งทดสอบที่มีอัตราส่วน ซิลิกา-อะลูมินา 45%	73
ตารางที่ ผ6 แสดงค่าเบอร์เซ็นต์การحدตัวหลังขอบแห่งของแท่งทดสอบที่มีอัตราส่วน ซิลิกา-อะลูมินา 40%(100 เมช)	74
ตารางที่ ผ7 แสดงค่าเบอร์เซ็นต์การحدตัวหลังขอบแห่งของแท่งทดสอบที่มีอัตราส่วน ซิลิกา-อะลูมินา 40%(150 เมช)	75
ตารางที่ ผ8 แสดงค่าเบอร์เซ็นต์การحدตัวหลังขอบแห่งของแท่งทดสอบที่มีอัตราส่วน ซิลิกา-อะลูมินา 40%(200 เมช)	76
ตารางที่ ผ9 แสดงค่าเบอร์เซ็นต์การحدตัวหลังเผาของแท่งทดสอบที่มีอัตราส่วน ซิลิกา-อะลูมินา 30%	77
ตารางที่ ผ10 แสดงค่าเบอร์เซ็นต์การحدตัวหลังเผาของแท่งทดสอบที่มีอัตราส่วน ซิลิกา-อะลูมินา 35%	78
ตารางที่ ผ11 แสดงค่าเบอร์เซ็นต์การحدตัวหลังเผาของแท่งทดสอบที่มีอัตราส่วน ซิลิกา-อะลูมินา 40%	79
ตารางที่ ผ12 แสดงค่าเบอร์เซ็นต์การhardตัวหลังเผาของแท่งทดสอบที่มีอัตราส่วน ซิลิกา-อะลูมินา 45%	80
ตารางที่ ผ13 แสดงค่าเบอร์เซ็นต์การhardตัวหลังเผาของแท่งทดสอบที่มีอัตราส่วน ซิลิกา-อะลูมินา 40%(100 เมช)	81
ตารางที่ ผ14 แสดงค่าเบอร์เซ็นต์การhardตัวหลังเผาของแท่งทดสอบที่มีอัตราส่วน ซิลิกา-อะลูมินา 40%(150 เมช)	82
ตารางที่ ผ15 แสดงค่าเบอร์เซ็นต์การhardตัวหลังเผาของแท่งทดสอบที่มีอัตราส่วน ซิลิกา-อะลูมินา 40%(200 เมช)	83
ตารางที่ ผ16 แสดงค่าเบอร์เซ็นต์การhardตัวหลังเผาที่อุณหภูมิ 900 องศาเซลเซียส ของแท่งทดสอบที่มีอัตราส่วนซิลิกา-อะลูมินา 40%(100 เมช)	84

สารบัญตาราง (ต่อ)

หน้า

ตารางที่ ผ17 แสดงค่าเบอร์เร็นต์การหดตัวหลังเผาที่อุณหภูมิ 1000 องศาเซลเซียส ของแท่งทดสอบที่มีอัตราส่วนซิลิกา-อะลูมินา 40%(100 เมช)	85
ตารางที่ ผ18 แสดงค่าเบอร์เร็นต์การหดตัวหลังเผาที่อุณหภูมิ 1100 องศาเซลเซียส ของแท่งทดสอบที่มีอัตราส่วนซิลิกา-อะลูมินา 40%(100 เมช)	86
ตารางที่ ผ19 แสดงค่าเบอร์เร็นต์การหดตัวหลังเผาที่อุณหภูมิ 1180 องศาเซลเซียส ของแท่งทดสอบที่มีอัตราส่วนซิลิกา-อะลูมินา 40%(100 เมช)	87
ตารางที่ ผ20 แสดงค่าเบอร์เร็นต์การหดตัวหลังเผาที่อุณหภูมิ 1100 องศาเซลเซียส อัตราการเพิ่มอุณหภูมิ 2 องศาเซลเซียสต่อนาทีของแท่งทดสอบที่มี อัตราส่วนซิลิกา-อะลูมินา 40%(100 เมช)	88
ตารางที่ ผ21 แสดงค่าเบอร์เร็นต์การหดตัวหลังเผาที่อุณหภูมิ 1100 องศาเซลเซียส อัตราการเพิ่มอุณหภูมิ 3 องศาเซลเซียสต่อนาทีของแท่งทดสอบที่มี อัตราส่วนซิลิกา-อะลูมินา 40%(100 เมช)	89
ตารางที่ ผ22 แสดงค่าเบอร์เร็นต์การหดตัวหลังเผาที่อุณหภูมิ 1100 องศาเซลเซียส อัตราการเพิ่มอุณหภูมิ 4 องศาเซลเซียสต่อนาทีของแท่งทดสอบที่มี อัตราส่วนซิลิกา-อะลูมินา 40%(100 เมช)	90
ตารางที่ ผ23 แสดงค่าเบอร์เร็นต์การหดตัวหลังเผาที่อุณหภูมิ 1100 องศาเซลเซียส อัตราการเพิ่มอุณหภูมิ 5 องศาเซลเซียสต่อนาทีของแท่งทดสอบที่มี อัตราส่วนซิลิกา-อะลูมินา 40%(100 เมช)	91
ตารางที่ ผ24 แสดงค่าความหนาแน่นหลังอบแห้งของแท่งทดสอบที่มีอัตราส่วน ซิลิกา-อะลูมินา 30%	92
ตารางที่ ผ25 แสดงค่าความหนาแน่นหลังอบแห้งของแท่งทดสอบที่มีอัตราส่วน ซิลิกา-อะลูมินา 35%	92
ตารางที่ ผ26 แสดงค่าความหนาแน่นหลังอบแห้งของแท่งทดสอบที่มีอัตราส่วน ซิลิกา-อะลูมินา 40%	92
ตารางที่ ผ27 แสดงค่าความหนาแน่นหลังอบแห้งของแท่งทดสอบที่มีอัตราส่วน ซิลิกา-อะลูมินา 45%	93

สารบัญตาราง (ต่อ)

	หน้า
ตารางที่ ผ28 แสดงค่าความหนาแน่นหลังอบแห้งของแท่งทดสอบที่มีอัตราส่วน ซิลิกา-อะลูมินา 40%(100 เมช)	93
ตารางที่ ผ29 แสดงค่าความหนาแน่นหลังอบแห้งของแท่งทดสอบที่มีอัตราส่วน ซิลิกา-อะลูมินา 40%(150 เมช)	93
ตารางที่ ผ30 แสดงค่าความหนาแน่นหลังอบแห้งของแท่งทดสอบที่มีอัตราส่วน ซิลิกา-อะลูมินา 40%(200 เมช)	94
ตารางที่ ผ31 แสดงค่าความหนาแน่นหลังเผาของแท่งทดสอบที่มีอัตราส่วน ซิลิกา-อะลูมินา 30%	95
ตารางที่ ผ32 แสดงค่าความหนาแน่นหลังเผาของแท่งทดสอบที่มีอัตราส่วน ซิลิกา-อะลูมินา 35%	95
ตารางที่ ผ33 แสดงค่าความหนาแน่นหลังเผาของแท่งทดสอบที่มีอัตราส่วน ซิลิกา-อะลูมินา 40%	96
ตารางที่ ผ34 แสดงค่าความหนาแน่นหลังเผาของแท่งทดสอบที่มีอัตราส่วน ซิลิกา-อะลูมินา 45%	96
ตารางที่ ผ35 แสดงค่าความหนาแน่นหลังเผาของแท่งทดสอบที่มีอัตราส่วน ซิลิกา-อะลูมินา 40%(100 เมช)	97
ตารางที่ ผ36 แสดงค่าความหนาแน่นหลังเผาของแท่งทดสอบที่มีอัตราส่วน ซิลิกา-อะลูมินา 40%(150 เมช)	97
ตารางที่ ผ37 แสดงค่าความหนาแน่นหลังเผาของแท่งทดสอบที่มีอัตราส่วน ซิลิกา-อะลูมินา 40%(200 เมช)	98
ตารางที่ ผ38 แสดงค่าความหนาแน่นหลังเผาที่อุณหภูมิ 900 องศาเซลเซียสของแท่งทดสอบ ที่มีอัตราส่วนซิลิกา-อะลูมินา 40%(100 เมช)	98
ตารางที่ ผ39 แสดงค่าความหนาแน่นหลังเผาที่อุณหภูมิ 1000 องศาเซลเซียสของแท่งทดสอบ ที่มีอัตราส่วนซิลิกา-อะลูมินา 40%(100 เมช)	99
ตารางที่ ผ40 แสดงค่าความหนาแน่นหลังเผาที่อุณหภูมิ 1100 องศาเซลเซียสของแท่งทดสอบ ที่มีอัตราส่วนซิลิกา-อะลูมินา 40%(100 เมช)	99

สารบัญตาราง (ต่อ)

	หน้า
ตารางที่ ผ41 แสดงค่าความหนาแน่นหลังเผาที่อุณหภูมิ 1180 องศาเซลเซียสของแท่งทดสอบ ที่มีอัตราส่วนซิลิกา-อะลูมินา 40%(100 เมซ).....	100
ตารางที่ ผ42 แสดงค่าความหนาแน่นหลังเผาที่อุณหภูมิ 1100 องศาเซลเซียสที่ อัตราการเพิ่ม 2 องศาเซลเซียสต่อนาทีของแท่งทดสอบที่มีอัตราส่วน ซิลิกา-อะลูมินา 40%(100 เมซ)	100
ตารางที่ ผ43 แสดงค่าความหนาแน่นหลังเผาที่อุณหภูมิ 1100 องศาเซลเซียสที่ อัตราการเพิ่ม 3 องศาเซลเซียสต่อนาทีของแท่งทดสอบที่มีอัตราส่วน ซิลิกา-อะลูมินา 40%(100 เมซ)	101
ตารางที่ ผ44 แสดงค่าความหนาแน่นหลังเผาที่อุณหภูมิ 1100 องศาเซลเซียสที่ อัตราการเพิ่ม 4 องศาเซลเซียสต่อนาทีของแท่งทดสอบที่มีอัตราส่วน ซิลิกา-อะลูมินา 40%(100 เมซ)	101
ตารางที่ ผ45 แสดงค่าความหนาแน่นหลังเผาที่อุณหภูมิ 1100 องศาเซลเซียสที่ อัตราการเพิ่ม 5 องศาเซลเซียสต่อนาทีของแท่งทดสอบที่มีอัตราส่วน ซิลิกา-อะลูมินา 40%(100 เมซ)	102
ตารางที่ ผ46 แสดงค่าความแข็งแรงของแท่งทดสอบหลังอบแห้งที่มีอัตราส่วนของ ซิลิกา-อะลูมินา 30 เปอร์เซ็นต์	103
ตารางที่ ผ47 แสดงค่าความแข็งแรงของแท่งทดสอบหลังอบแห้งที่มีอัตราส่วนของ ซิลิกา-อะลูมินา 35 เปอร์เซ็นต์	104
ตารางที่ ผ48 แสดงค่าความแข็งแรงของแท่งทดสอบหลังอบแห้งที่มีอัตราส่วนของ ซิลิกา-อะลูมินา 40 เปอร์เซ็นต์	105
ตารางที่ ผ49 แสดงค่าความแข็งแรงของแท่งทดสอบหลังอบแห้งที่มีอัตราส่วนของ ซิลิกา-อะลูมินา 45 เปอร์เซ็นต์	106
ตารางที่ ผ50 แสดงค่าความแข็งแรงของแท่งทดสอบหลังอบแห้งที่มีอัตราส่วนของ ซิลิกา-อะลูมินา 40 เปอร์เซ็นต์(100 เมซ)	107
ตารางที่ ผ51 แสดงค่าความแข็งแรงของแท่งทดสอบหลังอบแห้งที่มีอัตราส่วนของ ซิลิกา-อะลูมินา 40 เปอร์เซ็นต์(150 เมซ)	108
ตารางที่ ผ52 แสดงค่าความแข็งแรงของแท่งทดสอบหลังอบแห้งที่มีอัตราส่วนของ ซิลิกา-อะลูมินา 40 เปอร์เซ็นต์(200 เมซ)	109

สารบัญตาราง (ต่อ)

สารบัญตาราง (ต่อ)

หน้า	
ตารางที่ ผ66 แสดงค่าความแข็งแรงของแท่งทดสอบหลังเผาที่อุณหภูมิ 1100 องศาเซลเซียส ที่อัตราเพิ่ม 4 องศาเซลเซียสต่อนาทีที่มีอัตราส่วนของ ชิลิกา-อะลูมิниา 40 เปอร์เซ็นต์(100 เมช)	123
ตารางที่ ผ67 แสดงค่าความแข็งแรงของแท่งทดสอบหลังเผาที่อุณหภูมิ 1100 องศาเซลเซียส ที่อัตราเพิ่ม 5 องศาเซลเซียสต่อนาทีที่มีอัตราส่วนของ ชิลิกา-อะลูมิниา 40 เปอร์เซ็นต์(100 เมช)	124
ตารางที่ ผ68 แสดงค่าเบอร์เรนต์การดูดซึมน้ำของแท่งทดสอบหลังเผาที่มีอัตราส่วน ชิลิกา-อะลูมิниา 30%	125
ตารางที่ ผ69 แสดงค่าเบอร์เรนต์การดูดซึมน้ำของแท่งทดสอบหลังเผาที่มีอัตราส่วน ชิลิกา-อะลูมิниา 35%	125
ตารางที่ ผ70 แสดงค่าเบอร์เรนต์การดูดซึมน้ำของแท่งทดสอบหลังเผาที่มีอัตราส่วน ชิลิกา-อะลูมิниา 40%	126
ตารางที่ ผ71 แสดงค่าเบอร์เรนต์การดูดซึมน้ำของแท่งทดสอบหลังเผาที่มีอัตราส่วน ชิลิกา-อะลูมิниา 45%	126
ตารางที่ ผ72 แสดงค่าเบอร์เรนต์การดูดซึมน้ำของแท่งทดสอบหลังเผาที่มีอัตราส่วน ชิลิกา-อะลูมิниา 40%(100 เมช)	127
ตารางที่ ผ73 แสดงค่าเบอร์เรนต์การดูดซึมน้ำของแท่งทดสอบหลังเผาที่มีอัตราส่วน ชิลิกา-อะลูมิниา 40%(150 เมช)	127
ตารางที่ ผ74 แสดงค่าเบอร์เรนต์การดูดซึมน้ำของแท่งทดสอบหลังเผาที่มีอัตราส่วน ชิลิกา-อะลูมิниา 40%(200 เมช)	128
ตารางที่ ผ75 แสดงค่าเบอร์เรนต์การดูดซึมน้ำของแท่งทดสอบหลังเผาที่อุณหภูมิ 900 องศาเซลเซียสที่มีอัตราส่วนชิลิกา-อะลูมิниา 40%(100 เมช)	128
ตารางที่ ผ76 แสดงค่าเบอร์เรนต์การดูดซึมน้ำของแท่งทดสอบหลังเผาที่อุณหภูมิ 1000 องศาเซลเซียสที่มีอัตราส่วนชิลิกา-อะลูมิниา 40%(100 เมช)	129
ตารางที่ ผ77 แสดงค่าเบอร์เรนต์การดูดซึมน้ำของแท่งทดสอบหลังเผาที่อุณหภูมิ 1100 องศาเซลเซียสที่มีอัตราส่วนชิลิกา-อะลูมิниา 40%(100 เมช)	129
ตารางที่ ผ78 แสดงค่าเบอร์เรนต์การดูดซึมน้ำของแท่งทดสอบหลังเผาที่อุณหภูมิ 1180 องศาเซลเซียสที่มีอัตราส่วนชิลิกา-อะลูมิниา 40%(100 เมช)	130

สารบัญตาราง (ต่อ)

	หน้า
ตารางที่ ผ79 แสดงค่าเบอร์เซ็นต์การดูดซึมน้ำของแท่งทดสอบหลังเผาที่อุณหภูมิ 1100 องศาเซลเซียสที่อัตราการเพิ่ม 2 องศาเซลเซียสต่อนาทีที่มี อัตราส่วนซีลิกา-อะลูมินา 40%(100 เมช)	130
ตารางที่ ผ80 แสดงค่าเบอร์เซ็นต์การดูดซึมน้ำของแท่งทดสอบหลังเผาที่อุณหภูมิ 1100 องศาเซลเซียสที่อัตราการเพิ่ม 3 องศาเซลเซียสต่อนาทีที่มี อัตราส่วนซีลิกา-อะลูมินา 40%(100 เมช)	131
ตารางที่ ผ81 แสดงค่าเบอร์เซ็นต์การดูดซึมน้ำของแท่งทดสอบหลังเผาที่อุณหภูมิ 1100 องศาเซลเซียสที่อัตราการเพิ่ม 4 องศาเซลเซียสต่อนาทีที่มี อัตราส่วนซีลิกา-อะลูมินา 40%(100 เมช)	131
ตารางที่ ผ82 แสดงค่าเบอร์เซ็นต์การดูดซึมน้ำของแท่งทดสอบหลังเผาที่อุณหภูมิ 1100 องศาเซลเซียสที่อัตราการเพิ่ม 5 องศาเซลเซียสต่อนาทีที่มี อัตราส่วนซีลิกา-อะลูมินา 40%(100 เมช)	132

**ศูนย์วิทยทรัพยากร
จุฬาลงกรณ์มหาวิทยาลัย**

สารบัญรูป

	หน้า
รูปที่ 3.1 แสดงสูตรโครงสร้างของสารเอนทราคิวโนน	5
รูปที่ 3.2 กระบวนการผลิตสารประกอบไไฮดรอเจนเปอร์ออกไซด์	5
รูปที่ 3.3 แสดงแผนผังวัตถุดิบบางชนิดในการผลิตเซรามิก	7
รูปที่ 3.4 ปฏิกริยาของดินขาว เมื่อผ่านอุณหภูมิต่างๆ และการเปลี่ยนแปลงผลลัพธ์ทางโครงสร้างเคลือบ	8
รูปที่ 3.5 แสดงปฏิกริยาการเปลี่ยนแปลงของผลึกซิลิกาเมื่อได้รับความร้อน	15
รูปที่ 3.6 แสดงเครื่องมือนวดและรีดดิน	18
รูปที่ 5.1 แผนภูมิการเผาเท่งทดสอบที่อุณหภูมิ 1180 องศาเซลเซียส	29
รูปที่ 5.2 กราฟแสดงความสัมพันธ์ระหว่างค่าความหนืดกับอัตราส่วนซิลิกา-อะลูมินาที่ใช้แล้ว	32
รูปที่ 5.3 กราฟแสดงความสัมพันธ์ระหว่างค่าการหดตัวหลังอบแห้งกับอัตราส่วนซิลิกา-อะลูมินาที่ใช้แล้ว	32
รูปที่ 5.4 กราฟแสดงความสัมพันธ์ระหว่างความหนาแน่นหลังอบแห้งกับอัตราส่วนซิลิกา-อะลูมินาที่ใช้แล้ว	33
รูปที่ 5.5 กราฟแสดงความสัมพันธ์ระหว่างค่าความแข็งแรงหลังอบแห้งกับอัตราส่วนซิลิกา-อะลูมินาที่ใช้แล้ว	33
รูปที่ 5.6 กราฟแสดงความสัมพันธ์ระหว่างค่าการหดตัวหลังเผากับอัตราส่วนซิลิกา-อะลูมินาที่ใช้แล้ว	35
รูปที่ 5.7 กราฟแสดงความสัมพันธ์ระหว่างค่าความหนาแน่นหลังเผา กับอัตราส่วนซิลิกา-อะลูมินาที่ใช้แล้ว	35
รูปที่ 5.8 กราฟแสดงความสัมพันธ์ระหว่างค่าความแข็งแรงหลังเผา กับอัตราส่วนซิลิกา-อะลูมินาที่ใช้แล้ว	36
รูปที่ 5.9 กราฟแสดงความสัมพันธ์ระหว่างค่าการดูดซึมน้ำ กับอัตราส่วนซิลิกา-อะลูมินาที่ใช้แล้ว	36
รูปที่ 5.10 กราฟแสดงความสัมพันธ์ระหว่างค่าความหนืด กับขนาดอนุภาค ของซิลิกา-อะลูมินาที่ใช้แล้ว	38
รูปที่ 5.11 กราฟแสดงความสัมพันธ์ระหว่างค่าการหดตัวหลังอบแห้ง กับขนาดอนุภาคของซิลิกา-อะลูมินาที่ใช้แล้ว	38

สารบัญรูป (ต่อ)

	หน้า
รูปที่ 5.12 กราฟแสดงความสัมพันธ์ระหว่างความหนาแน่นหลังอบแห้ง ^{กับขนาดอนุภาคของซิลิกา-อะลูมินาที่ใช้แล้ว}	39
รูปที่ 5.13 กราฟแสดงความสัมพันธ์ระหว่างค่าความแข็งแรงหลังอบแห้ง ^{กับขนาดอนุภาคของซิลิกา-อะลูมินาที่ใช้แล้ว}	39
รูปที่ 5.14 กราฟแสดงความสัมพันธ์ระหว่างค่าการหดตัวหลังเผาภับ ^{ขนาดอนุภาคของซิลิกา-อะลูมินาที่ใช้แล้ว}	41
รูปที่ 5.15 กราฟแสดงความสัมพันธ์ระหว่างความหนาแน่นหลังเผา ^{กับขนาดอนุภาคของซิลิกา-อะลูมินาที่ใช้แล้ว}	41
รูปที่ 5.16 กราฟแสดงความสัมพันธ์ระหว่างค่าความแข็งแรงหลังเผาภับ ^{ขนาดอนุภาคของซิลิกา-อะลูมินาที่ใช้แล้ว}	42
รูปที่ 5.17 กราฟแสดงความสัมพันธ์ระหว่างค่าการดูดซึมน้ำภับ ^{ขนาดอนุภาคของซิลิกา-อะลูมินาที่ใช้แล้ว}	42
รูปที่ 5.18 แผนภูมิการเผาแห่งทดสอบที่อุณหภูมิ 900 1000 1100 ^{และ 1180 องศาเซลเซียส}	44
รูปที่ 5.19 กราฟแสดงความสัมพันธ์ระหว่างค่าการหดตัวหลังเผาภับอุณหภูมิที่ใช้ในการเผา	45
รูปที่ 5.20 กราฟแสดงความสัมพันธ์ระหว่างค่าความหนาแน่นหลังเผาภับ ^{อุณหภูมิที่ใช้ในการเผา}	45
รูปที่ 5.21 กราฟแสดงความสัมพันธ์ระหว่างค่าความแข็งแรงหลังเผาภับ ^{อุณหภูมิที่ใช้ในการเผา}	46
รูปที่ 5.22 กราฟแสดงความสัมพันธ์ระหว่างค่าการดูดซึมน้ำภับอุณหภูมิที่ใช้ในการเผา	46
รูปที่ 5.23 แผนภูมิการเผาแห่งทดสอบที่อุณหภูมิ 1100 องศาเซลเซียส โดยมีอัตราเร็ว ^{เป็น 2 3 4 และ 5 องศาเซลเซียสต่อนาที}	47
รูปที่ 5.24 กราฟแสดงความสัมพันธ์ระหว่างค่าการหดตัวหลังเผา ^{กับอัตราเร็วที่ใช้ในการเผา}	49
รูปที่ 5.25 กราฟแสดงความสัมพันธ์ระหว่างค่าความหนาแน่นหลังเผา ^{กับอัตราเร็วที่ใช้ในการเผา}	49
รูปที่ 5.26 กราฟแสดงความสัมพันธ์ระหว่างค่าความแข็งแรงหลังเผา ^{กับอัตราเร็วที่ใช้ในการเผา}	50

สารบัญ (ต่อ)

หน้า	
รูปที่ 5.27 กราฟแสดงความสัมพันธ์ระหว่างค่าการดูดซึมน้ำกับอัตราเร็วที่ใช้ในการเผา	50
รูปที่ 5.28 X-ray diffraction pattern ของแท่งทดสอบหลังเผาที่อุณหภูมิ 1100 องศาเซลเซียส อัตราการเพิ่มอุณหภูมิ 3 องศาเซลเซียสต่อนาที	53
รูปที่ 5.29 X-ray diffraction pattern และเฟสของแท่งทดสอบหลังเผาที่อุณหภูมิ 1100 องศาเซลเซียส อัตราการเพิ่มอุณหภูมิ 3 องศาเซลเซียสต่อนาที	54
รูปที่ 5.30 แผนภูมิแสดงการเปลี่ยนแปลงเฟสของเซรามิกที่มีส่วนประกอบเป็น $\text{TiO}_2\text{-Al}_2\text{O}_3$	55
รูปที่ ผ1 ชิลิกา-อะลูมินาไม่เผา ที่ผ่านการเผา และ ที่ผ่านการบด	134
รูปที่ ผ2 ชิลิกา-อะลูมินาหลังการเผาและบด โดยร่อนผ่านตะเกียงขนาดต่างๆ	134
รูปที่ ผ3 ดินดำแม่แซนขนาด 325 เมช	135
รูปที่ ผ4 เฟลต์สปาร์ขนาด 325 เมช	135
รูปที่ ผ5 เครื่องรีดดิน (Extrusion)	136
รูปที่ ผ6 เตาเผาไฟฟ้าอุณหภูมิ 1200 องศาเซลเซียส	136
รูปที่ ผ7 ส่วนผสมที่ผ่านการนวดผสม	137
รูปที่ ผ8 แท่งทดสอบก่อนเผาและหลังเผา	137
รูปที่ ผ9 แท่งทดสอบหลังเผาที่อัตราส่วนชิลิกา-อะลูมินา 30 35 40 และ 45%	138
รูปที่ ผ10 แท่งทดสอบหลังเผาที่มีขนาดของชิลิกา-อะลูมินา 100 150 และ 200 เมช	139
รูปที่ ผ11 แท่งทดสอบหลังเผาที่อุณหภูมิ 900 1000 1100 และ 1180 องศาเซลเซียส	140
รูปที่ ผ12 แท่งทดสอบหลังเผาที่อัตราการเพิ่มอุณหภูมิ 2 3 4 และ 5 องศาเซลเซียสต่อนาที	141
รูปที่ ผ13 เครื่องทดสอบกำลังรับแรงดัดของแท่งเซรามิก	142

คำนิยาม

Liquid Limit คือ ปริมาณน้ำที่น้อยที่สุดที่ดินสามารถไหลไปได้whenน้ำหนักของดินเอง

Plastic Limit คือ ปริมาณน้ำที่น้อยที่สุดที่ดินสามารถถูกคลึงเป็นเส้นกลม มีขนาดเส้นผ่าศูนย์กลาง 3.2 ม.ม. ได้โดยไม่เกิดรอยแตกที่ผิว

ค่าความเหนียว (Plastic Index) คือ ผลต่างระหว่างค่า Liquid Limit กับ ค่า Plastic Limit

ค่าการทดสอบตัวหลังอบแห้ง คือ ค่าของขนาดที่เล็กลงของแท่งทดสอบหลังการอบที่ อุณหภูมิ 110 องศาเซลเซียสจนน้ำหนักคงที่

ค่าการทดสอบตัวหลังเผา คือ ค่าของขนาดที่เล็กลงของแท่งทดสอบหลังการเผา

ค่าความหนาแน่น คือ อัตราส่วนระหว่างน้ำหนักกับปริมาตร

ค่าความแข็งแรง คือ ค่ากำลังรับแรงดัดของแท่งทดสอบ โดยให้น้ำหนักกดลงตรงกลางของแท่งทดสอบระหว่างที่รองรับ 2 ข้าง

ค่าการดูดซึมน้ำ คือ ค่าปริมาณน้ำที่แท่งทดสอบดูดซึมเข้าไปหลังจากต้มในน้ำเดือด 5 ชั่วโมง และแช่ไว้ในน้ำอีก 24 ชั่วโมง แล้วนำขึ้นมาเช็ดด้วยผ้าหมวด แล้วนำไปรีซั่งน้ำหนัก เทียบกับน้ำหนักแห้ง